

引种美国红橡的纤维形态、微纤丝角及结晶度

李聪聪¹, 潘彪¹, 王慧¹, 黄利斌²

(1. 南京林业大学 材料科学与工程学院, 江苏南京 210037; 2. 江苏省林业科学研究院, 江苏南京 211153)

摘要:【目的】为引种栎木的科学利用提供理论依据。【方法】以 14 年生美国红橡纳塔栎 *Quercus nuttallii*、水栎 *Quercus nigra*、舒玛栎 *Quercus shumardii* 为对象, 采用富兰克林解离法及 X-射线衍射法(XRD)研究其纤维形态、微纤丝角及结晶度, 并对数据进行方差分析及回归分析。【结果】3 种美国红橡纤维长度分别为 1 172.14、1 178.68 和 1 162.45 μm , 纤维宽度分别为 15.86、16.56 和 16.91 μm , 种间差异均不显著($P>0.05$); 双壁厚度分别为 10.23、11.19 和 10.96 μm , 壁腔比分别为 1.85、2.10 和 1.91, 种间差异均显著($P<0.05$); 3 种美国红橡的微纤丝角分别为 33.79°、30.48° 和 34.10°, 结晶度分别为 51.35%、53.30% 和 52.97%, 种间均具有极显著差异($P<0.01$)。3 种美国红橡纤维长度、宽度、双壁厚、壁腔比以及结晶度均随生长轮的增加呈增长趋势, 微纤丝角随生长轮的增加呈下降趋势, 并且年轮间存在着一定的波动。【结论】14 年生纳塔栎、水栎和舒玛栎纤维尺寸、微纤丝角、结晶度径向变化尚未稳定, 仍处于幼龄期。纤维长度、宽度、双壁厚及微纤丝角与生长轮有较好的拟合关系。图 3 表 2 参 21

关键词:木材科学与技术; 美国红橡; 纤维形态; 微纤丝角; 结晶度

中图分类号: S781.3 文献标志码: A 文章编号: 2095-0756(2020)01-0158-07

Fiber morphology, microfibril angle and crystallinity of American red oak introduced

LI Congcong¹, PAN Biao¹, WANG Hui¹, HUANG Libin²

(1. College of Materials Science and Engineering, Nanjing Forestry University, Nanjing 210037, Jiangsu, China;
2. Jiangsu Academy of Forestry, Nanjing 211153, Jiangsu, China)

Abstract: [Objective] Measuring and analyzing the fiber morphology, microfibril angle and crystallinity can provide a theoretical basis for its quality prediction and utilization. [Method] Taking 14-year-old *Quercus nuttallii*, *Q. nigra* and *Q. shumardii* as the research object, with the maceration method and X-ray diffractometer (XRD) employed, a study is conducted of their fiber morphology, microfibril angle and crystallinity with a regression and variance analysis made of the data. [Result] (1) The fiber lengths of the three species of oak are 1 172.14, 1 178.68 and 1 162.45 μm , the fiber widths of the three species of oak are 15.86, 16.56 and 16.91 μm with no significant differences among species ($P>0.05$). The double-wall thickness of three species of oak are 10.23, 11.19 and 10.96 μm , and the wall thickness-lumen diameter ratios of the three species of oak are 1.85, 2.10 and 1.91 with significant differences among species ($P<0.05$). The microfibril angles of three species of oak are 33.79°, 30.48° and 34.10° and the crystallinities of the three oak species are 51.35%, 53.30% and 52.97% with extremely significant differences among species ($P<0.01$). (2) The fiber length, the fiber width, the double-wall thickness, the wall thickness-lumen diameter ratio and the crystallinity of three species of oak displayed an ascending trend from pith to bark. The microfibril angle displayed a descending trend from pith to bark with some fluctuations between the rings. [Conclusion] The radial change of the fiber morphology, the mi-

收稿日期: 2019-03-14; 修回日期: 2019-06-20

基金项目: 江苏省科技计划项目(BE2015370)

作者简介: 李聪聪, 从事木材解剖研究。E-mail: 976940379@qq.com。通信作者: 潘彪, 教授, 从事木材材性改良及木材解剖研究。E-mail: panbiao@njfu.edu.cn

crofibril angle and the crystallinity of 14-years-old *Q. nuttallii*, *Q. nigra* and *Q. shumardii* was not stable but stayed in the juvenile stage. Also, the fiber length, fiber width, double wall thickness and microfibril angle demonstrate favorable fitting with growth rings. [Ch, 3 fig. 2 tab. 21 ref.]

Key words: wood science and technology; American red oak; fiber morphology; microfibril angle; crystallinity

木材作为环境友好型的绿色原材料, 是国民经济发展的基础材料。为坚持生态发展战略, 中国林业相关部门启动了一批重点生态工程, 在天然林保护的同时, 大力发展人工林种植。随着国内民众生态意识的增强和国家森林保护力度的加大, 木材刚性需求增加, 木材的对外依赖度达到了近 50%。据测算, 到 2020 年, 中国木材年需求量将达到 8 亿 m³, 对大径材和珍贵树种用材需求也会大幅增加^[1]。引进国外优良树种是提高林业生产力、填补国内名特优新经济林、满足人们对林产品需求的有效途径, 对于在短期内实现有效供给、缓解木材及林产品的供需矛盾, 实现可持续发展, 具有十分重要的意义。中国土壤气候条件与北美相似, 引种美国红橡树种具有得天独厚的优势。引种树种能在短时间内增加当地的植物种类, 树种的合理布局和应用, 对弥补优质用材资源不足有重要意义。橡树又称栎树, 是壳斗科 Fagaceae 栎属 *Quercus* 树种的统称, 用途广泛, 材质优异, 是优质商品材和燃料的重要来源^[2]。中国自 1998 年开展北美栎树种质资源引种与栽培研究, 对引种试验、引种树苗抗逆性^[3]研究较多, 为栎类树种引进开发利用提供了理论基础。纤维形态特征与木材生长状况以及强度、密度以及物理、力学性质有密切关系, 可用来进行木材的材性预测。微纤丝角在一定程度上可以反映木材的物理和力学性质, 如木材的尺寸稳定性、干缩湿胀及弹性模量、强度和蠕变特性等, 是评价木材品质性能和良种选育的重要依据^[4]。木材的结晶度与木材密度、强度、尺寸稳定性存在着正相关关系^[5], 研究结晶度有助于了解木材解剖结构与其性质之间联系。本研究以纳塔栎 *Quercus nuttallii*、水栎 *Quercus nigra* 和舒玛栎 *Quercus shumardii* 为对象, 比较了 3 种美国红橡纤维形态、微纤丝角和结晶度的异同, 以期为引种栎木的科学利用提供理论依据, 为更大范围引种栽培提供理论基础。

1 材料与方法

1.1 实验材料

根据 GB/T 1927-2009《木材物理力学试材采集方法》采集试样^[6]。选取 14 年生纳塔栎、水栎、舒玛栎各 4 株; 其中纳塔栎、水栎采自江苏省林业科学研究院句容苗圃(年平均气温为 15.2 ℃, 年降水量为 1 058.8 mm)。纳塔栎平均树高为 8.48 m, 平均胸径为 19.28 cm; 水栎平均树高为 10.68 m, 平均胸径为 15.38 cm; 舒玛栎采自于南京彩树种植有限公司江宁区种植基地(年平均气温为 15.4 ℃, 年降水量为 1 200.0 mm), 平均树高为 11.70 m, 平均胸径为 15.20 cm。

1.2 实验方法

1.2.1 木材纤维形态测定 将样木自胸高处圆盘锯解, 立即沿南北向自髓心向外逐年切取样块并依次编号, 由于第 1, 2 年轮宽度较窄, 合并为 1 个样品。将各标号木块切成火柴棍大小, 每个年轮制 4 组平行样。用富兰克林离析法^[7]离析细胞, 制成临时切片, 置于普通光学显微镜下; 随机测量 50 个细胞长度、宽度和腔径, 计算双壁厚、壁腔比。结果取平均数。

1.2.2 木材微纤丝角测定 将 3 种样木按 1.2.1 制成厚度约为 2 mm 的试样, 采用 Ultima IV 组合型多功能水平 X-射线衍射仪(XRD)按 Cave 0.6T 法^[8]测量试材微纤丝角。结果取平均数。

1.2.3 木材结晶度测定 将 3 种样木按 1.2.1 制成火柴棍大小试样, 磨成 80~100 目木粉, 室温下压成薄片后测定木材结晶度, 同时分析木材 2θ 衍射强度曲线。计算结果取平均数。木材纤维的衍射强度在 2θ=22° 是极大值, 其积分强度用 I_{002} 表示; 在 2θ=18° 附近出现波谷, 是木材纤维中无定形区衍射的散射强度, 其积分强度用 I_{am} 表示。相对结晶度(I_{Cr})公式^[9]如下: $I_{Cr}=100\times(I_{002}-I_{am})/I_{002}$ 。

1.2.4 数据处理 试验数据采用 Excel 2013 进行方差分析及回归分析, Origin 软件作图。

2 结果与分析

2.1 纤维形态

由表1可知：纳塔栎纤维长度径向变化范围为1 032.46~1 255.46 μm ，平均值为(1 172.14±86.88) μm ；水栎纤维长度径向变化范围为1 018.04~1 281.27 μm ，平均值为(1 178.68±95.54) μm ；舒玛栎纤维长度径向变化范围为1 010.34~1 292.56 μm ，平均值为(1 162.45±112.67) μm 。其中，舒玛栎的平均纤维长度最短，纳塔栎和水栎之间差异较小，三者栎木纤维长度种间不具有显著差异($P>0.05$)。按照国际木材解剖学家协会理事会发布的纤维长度分级标准(<0.9 mm的属于短纤维，0.9~1.6 mm的属于中等纤维，>1.6 mm的属于长纤维)，3种栎木纤维均属于中等纤维，大于62年生蒙古栎*Q. mongolica*纤维平均长度(1 001.20 μm)^[10]，与40年生欧洲栓皮栎*Q. suber*(960.00~1 220.00 μm)^[11]、33年生冬青栎*Q. ilex*(1 103.00 μm)及24年生深红栎*Q. coccifera*纤维平均长度(1 116.00 μm)相近^[12]。由图1A可见：3种栎木纤维长度从髓心至树皮方向总体呈上升趋势，但径向变化尚未趋于稳定，说明树木仍处于幼龄期。

3种栎木纤维宽度为14.14~18.51 μm ，舒玛栎纤维宽度最大(16.91 μm ±1.20 μm)，水栎(16.56 μm ±0.70 μm)和纳塔栎(15.86 μm ±1.11 μm)略小，变异系数均小于10%，变异较小。纤维宽度种间差异不显著($P>0.05$)。3种栎木纤维宽度均小于40年生欧洲栓皮栎(18.40~21.49 μm)。由图1B可知：3种栎木纤维宽度的径向变化均随生长轮增加而增加，但存在着一定的波动。

纤维双壁厚是木材质量、基本密度和强度的物质基础^[13]，受生态环境条件和气候因子的影响较大^[14]。研究发现：水栎双壁厚最大(11.19 μm ±0.54 μm)，纳塔栎(10.23 μm ±0.91 μm)和舒玛栎(10.96 μm ±1.03 μm)略小，3种栎木双壁厚种间具有显著差异($P<0.05$)。由图1C可知：随生长轮增加，3种栎木纤维双壁厚径向均呈增长趋势。较其他2种栎，水栎更易受生态环境条件和气候因子影响，因而纤维双壁厚变化波动也较大。

纤维壁腔比是纤维双壁厚与纤维胞腔直径的比值，是衡量木材纤维强度的重要指标。纤维壁腔比越小，则木材密度越大，材质越坚硬^[15]。木材纤维工业原料中通常要求纤维为中级长度(900.00~1 600.00 μm)，长宽比不低于35，壁腔比小于1^[16]。本研究发现：3种栎木壁腔比为1.55~2.44，水栎壁腔比平均值最大(2.10±0.23)，纳塔栎(1.85±0.26)和舒玛栎(1.91±0.16)略低，纤维壁腔比种间具有显著差异($P<0.05$)。3种栎木壁腔比均大于1，未达到纤维工业原料要求。从髓心向外，3种栎木壁腔比径向均略微上升，在一定范围内存在波动(图1D)。

表1 纤维形态的比较分析
Table 1 Comparative analysis of fiber morphology

| 树种 | 纤维长度 | | | | 纤维宽度 | | | |
|-----|---------------------|--------------------|--------|------------|---------------------|--------------------|--------|------------|
| | 变化范围/ μm | 平均值/ μm | 变异系数/% | P | 变化范围/ μm | 平均值/ μm | 变异系数/% | P |
| 纳塔栎 | 1 032.46~1 255.46 | 1 172.14 ± 86.88 | 7.41 | | 14.14~17.69 | 15.86 ± 1.11 | 7.02 | |
| 水栎 | 1 018.04~1 281.27 | 1 178.68 ± 95.54 | 8.11 | 0.941 560 | 15.53~17.34 | 16.56 ± 0.70 | 4.24 | 0.062 224 |
| 舒玛栎 | 1 010.34~1 292.56 | 1 162.45 ± 112.67 | 9.69 | | 15.43~18.51 | 16.91 ± 1.20 | 7.08 | |
| 树种 | 双壁厚 | | | | 壁腔比 | | | |
| | 变化范围/ μm | 平均值/ μm | 变异系数/% | P | 变化范围/ μm | 平均值/ μm | 变异系数/% | P |
| 纳塔栎 | 8.77~11.67 | 10.23 ± 0.91 | 8.89 | | 1.55~2.32 | 1.85 ± 0.26 | 13.97 | |
| 水栎 | 10.65~12.15 | 11.19 ± 0.54 | 4.85 | 0.028 812* | 1.68~2.44 | 2.10 ± 0.23 | 10.97 | 0.035 464* |
| 舒玛栎 | 9.40~12.34 | 10.96 ± 1.03 | 9.37 | | 1.67~2.15 | 1.91 ± 0.16 | 8.22 | |

说明： P 为各指标平均值的种间差异显著性分析；“*”表示0.05水平上具有显著性差异

2.2 微纤丝角

微纤丝角是影响木材强度的主要因素，通常作为材质评定及早期良种选育的重要指标。本研究发现：纳塔栎微纤丝角径向变化范围为30.02°~38.73°，平均值为33.79°。水栎为26.12°~33.52°，平均值为30.48°。舒玛栎为37.65°~30.93°，平均值为34.10°。3种栎木微纤丝角大小依次为舒玛栎(34.10°)、纳塔

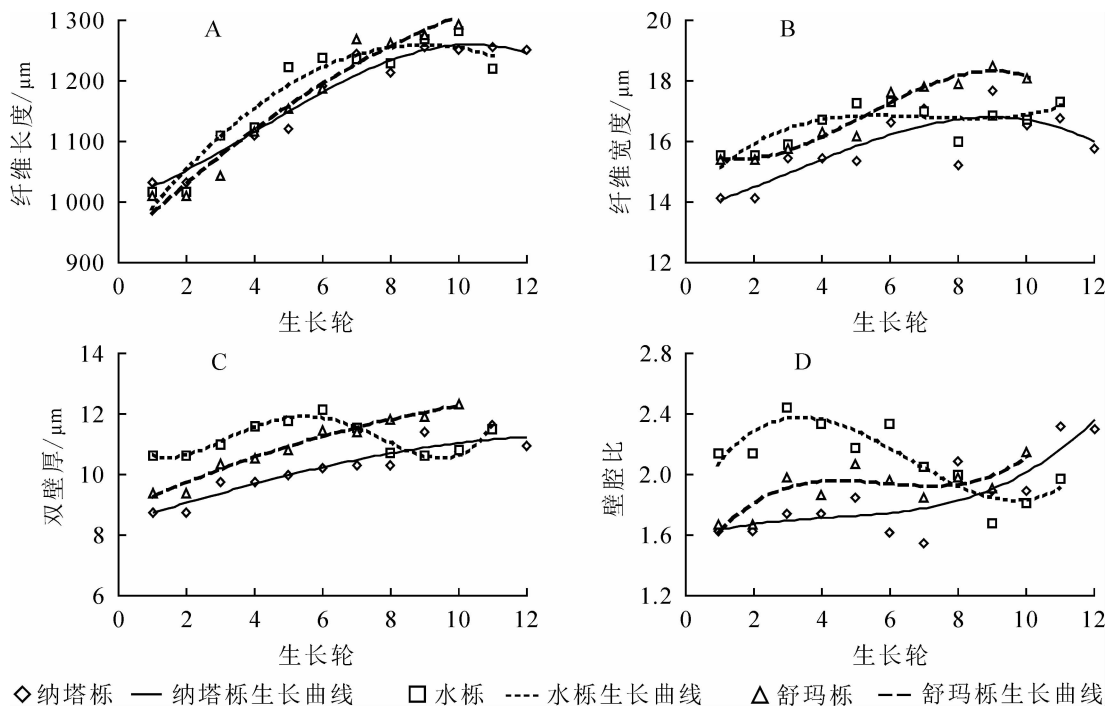


图 1 纤维形态随生长轮的径向变化规律

Figure 1 Radial variation of fiber morphology and growth ring from pith to bark

栎(33.79°)和水栎(30.48°)，微纤丝角种间具有极显著差异($P<0.01$)。3种栎木微纤丝角平均值为 32.79° ，略大于采用细胞壁高分辨率显微照片测定的夏栎 $Q. robur(22^\circ\sim31.6^\circ)$ ^[17]的微纤丝角，可能与栎木未达到成熟状态有关，也可能是因为测量方法不同，XRD法测量时采用的是细胞壁各壁层微纤丝角平均值。

从图2可以看出：3种栎木微纤丝角随生长轮增加总体呈下降趋势。原因可能是试材越靠近髓心，树木年龄越小，形成层原始细胞产生的子细胞胞壁就越薄，各层的平均微纤丝角就越大^[18]。

2.3 结晶度

纳塔栎结晶度径向变化范围为 $50.07\% \sim 52.52\%$ ，平均值为 51.35% 。水栎结晶度径向变化范围为 $51.45\% \sim 55.47\%$ ，平均值为 53.30% 。舒玛栎结晶度径向变化范围为 $51.23\% \sim 53.83\%$ ，平均值为 52.97% 。结晶度大小依次为水栎(53.30%)、舒玛栎(52.97%)和纳塔栎(51.35%)，均大于加拿大栎 $Q. canariensis(38.93\%)$ ^[19]，3种栎木种间具有极显著差异($P<0.01$)。纳塔栎、水栎和舒玛栎结晶度的变异系数分别为 1.63% 、 2.80% 和 1.43% ，变异较小。如图3所示：结晶度随生长轮增加总体呈上升趋势，还未处于平稳状态，可能与其处于生长时期有关。结晶度径向变化趋势与其他学者研究一致：在树木生长初期形成层

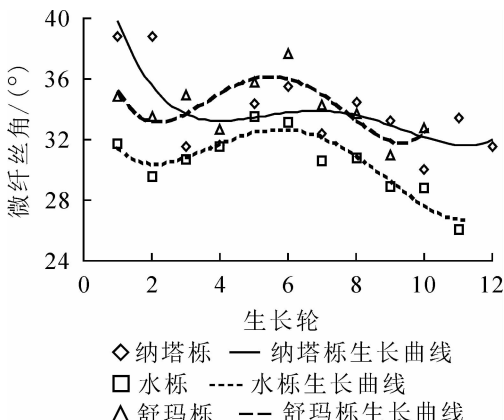


图 2 微纤丝角随生长轮的径向变化规律

Figure 2 Radial variation of microfibril angle and growth ring from pith to bark

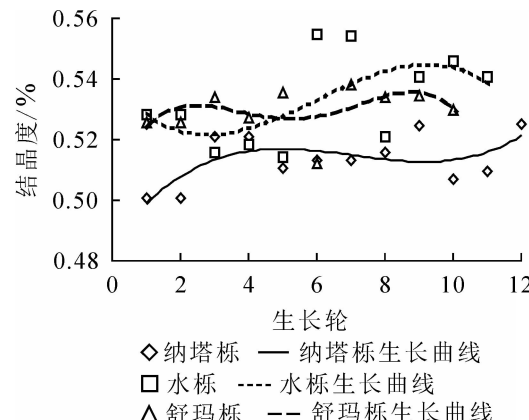


图 3 结晶度随生长轮的径向变化规律

Figure 3 Radial variation of the crystallinity and growth ring from pith to bark

细胞分裂速度较快，结晶度较小，随着树龄的增加，结晶度也逐渐增大最后趋于稳定^[20]。

2.4 预测模型

纤维形态、微纤丝角与生长轮间关系密切。对生长轮与纤维形态、微纤丝角进行拟合分析，建立适当的模型，对人工林材质早期预测及林木的定向培育、优化利用具有十分重要理论意义和应用价值。以生长轮为自变量(x)，纤维长度、纤维宽度、纤维双壁厚、微纤丝角分别为因变量(y)，进行回归拟合。

如表2所示：3种引种栎木纤维长度与生长轮的关系与2次曲线拟合度较好，相关系数(R^2)均在0.900以上，回归效果理想，与大多数研究结果一致^[21]，符合生物学生长规律。3种引种栎木纤维宽度与生长轮的3次曲线拟合度高，其中舒玛栎拟合效果最佳，相关系数达到0.960。纳塔栎和舒玛栎纤维双壁厚与生长轮的2次曲线有较好的拟合关系，水栎纤维双壁厚与生长轮的3次曲线拟合关系较好，其中舒玛栎拟合效果最佳，相关系数达到0.972。纳塔栎微纤丝角与生长轮的关系与对数函数有较好的拟合，水栎及舒玛栎与2次曲线有较好的拟合，其中水栎拟合效果最佳，相关系数为0.748。

表2 纤维形态、微纤丝角与生长轮的回归分析

Table 2 Regression analysis of fiber morphology, microfibril angle, and growth ring

| 拟合类型 | 样木 | 回归方程 | R^2 |
|----------|-----|--|-------|
| 纤维长度与生长轮 | 纳塔栎 | $y=-2.004\ 3x^2+48.641\ 0x+964.540\ 0$ | 0.943 |
| | 水栎 | $y=-4.235\ 4x^2+76.000\ 0x+917.510\ 0$ | 0.933 |
| | 舒玛栎 | $y=-1.673\ 2x^2+54.666\ 0x+926.210\ 0$ | 0.962 |
| 纤维宽度与生长轮 | 纳塔栎 | $y=-0.004\ 0x^3+0.040\ 0x^2+0.330\ 0x+13.710\ 0$ | 0.689 |
| | 水栎 | $y=0.889\ 0x^3-0.190\ 0x^2+1.280\ 0x+14.310\ 0$ | 0.656 |
| | 舒玛栎 | $y=-0.010\ 0x^3+0.220\ 0x^2-0.590\ 0x+15.832\ 0$ | 0.960 |
| 双壁厚与生长轮 | 纳塔栎 | $y=-0.120\ 0x^2+0.400\ 0x+8.340\ 0$ | 0.884 |
| | 水栎 | $y=-0.116\ 0x^3+0.790\ 0x^2-1.630\ 0x+11.580\ 0$ | 0.922 |
| | 舒玛栎 | $y=-0.020\ 0x^2+0.510\ 0x+8.780\ 0$ | 0.972 |
| 微纤丝角与生长轮 | 纳塔栎 | $y=-2.529\ 0\ln x+38.007\ 0$ | 0.481 |
| | 水栎 | $y=-0.143\ 9x^2+1.356\ 4x+28.960\ 0$ | 0.748 |
| | 舒玛栎 | $y=-0.110\ 0x^2+0.988\ 3x+32.896\ 0$ | 0.337 |

3 结论

对纳塔栎、水栎和舒玛栎纤维形态测量得知：3种引种栎木纤维长度为1 010.34~1 292.56 μm，纤维宽度为14.14~18.51 μm，纤维长度、宽度种间不具有显著差异($P>0.05$)，其径向变化均为从髓心至树皮方向呈上升趋势，但径向变化尚未趋于稳定；3种栎木纤维双壁厚为8.77~12.34 μm，壁腔比为1.55~2.44，纤维双壁厚、壁腔比种间具有显著差异($P<0.05$)，其径向变化均为从髓心至树皮方向略微上升，在一定范围内存在波动。

3种栎木中舒玛栎微纤丝角最大(34.10°)，纳塔栎(33.79°)和水栎(30.48°)略小，微纤丝角种间具有极显著差异($P<0.01$)。径向变化为微纤丝角随着生长轮增加而降低；结晶度大小依次为水栎(53.30%)、舒玛栎(52.97%)和纳塔栎(51.35%)，结晶度种间具有极显著差异($P<0.01$)，径向变化为结晶度随生长轮增加总体呈平缓上升趋势。

对生长轮与各指标进行拟合分析发现：3种栎木纤维长度与生长轮关系用2次曲线拟合效果理想，相关系数均在0.900以上。纤维宽度与生长轮关系：舒玛栎用3次曲线拟合效果理想，相关系数在0.900以上。双壁厚与生长轮的关系：舒玛栎用2次曲线拟合效果理想，相关系数在0.900以上。微纤丝角与生长轮的关系：水栎用2次曲线拟合效果较好，相关系数在0.700以上。

由此认为：14年生引种美国红橡仍处于幼龄期，纤维形态、微纤丝角与结晶度径向变化趋势尚未趋于稳定。

4 参考文献

- [1] 刘珉. 多角度解读第8次全国森林资源清查结果[J]. 林业经济, 2014, **36**(5): 3–9, 15.
LIU Min. Study on the 8th national forest inventory from multiple perspective [J]. *For Econ*, 2014, **36**(5): 3–9, 15.
- [2] 陈益泰, 孙海菁, 王树凤, 等. 5种北美栎树在我国长三角地区的引种生长表现[J]. 林业科学, 2013, **26**(3): 344–351.
CHEN Yitai, SUN Haijing, WANG Shufeng, et al. Growth performances of five north American oak species in Yangtze river Delta of China [J]. *For Res*, 2013, **26**(3): 344–351.
- [3] 兰士波. 中国北方落叶栎类研究进展及前景[J]. 中国林副特产, 2018(4): 71–76.
LAN Shibo. Present research progress and prospect on deciduous oak of northern China [J]. *For By-Prod Spec China*, 2018(4): 71–76.
- [4] ZHANG Bo, FEI Benhua, YU Yan, et al. Microfibril angle variability in masson pine (*Pinus massoniana* Lamb.) using X-ray diffraction [J]. *For Studies China*, 2007, **9**(1): 33–38.
- [5] 胡梦霄, 杭芸, 黄华宏, 等. 杉木木材结晶度的近红外预测模型建立及变异分析[J]. 浙江农林大学学报, 2017, **34**(2): 361–368.
HU Mengxiao, HANG Yun, HUANG Huahong, et al. A near infrared prediction model and variation analysis of wood crystallinity in *Cunninghamia lanceolata* [J]. *J Zhejiang A&F Univ*, 2017, **34**(2): 361–368.
- [6] 全国木材标准化技术委员会. 木材物理力学试材采集方法: GB/T 1927–2009[S]. 北京: 中国标准出版社, 2009.
- [7] 郑明朝, 黄金, 韦鹏练, 等. 15年生巨尾桉纤维特性分析[J]. 江西农业学报, 2018, **30**(9): 31–34.
ZHENG Mingchao, HUANG Jin, WEI Penglian, et al. Fiber characteristics of 15-year-old *Eucalyptus grandis* × *E. urophylla* [J]. *Acta Agric Jiangxi*, 2018, **30**(9): 31–34.
- [8] 杨振亚. 4个引种栎类树种苗期抗逆性初步研究[D]. 泰安: 山东农业大学, 2016.
YANG Zhenya. *Studies on Stress-resistance of Four Introduced Oaks Seedlings* [D]. Taian: Shandong Agricultural University, 2016.
- [9] 方忠艳, 廖薇, 余丽萍, 等. 贵州不同种源山棕纤维结晶度的分析与比较[J]. 西部林业科学, 2018, **47**(1): 92–96, 103.
FANG Zhongyan, LIAO Wei, YU Liping, et al. Comparative study on crystallinity of mountain palm fiber from different provenances of Guizhou [J]. *J West China For Sci*, 2018, **47**(1): 92–96, 103.
- [10] 赵西平, 张超男, 刘高均, 等. 蒙古栎次生木质部解剖结构分析[J]. 西南林业大学学报, 2013, **33**(6): 76–79.
ZHAO Xiping, ZHANG Chaonan, LIU Gaojun, et al. Anatomical structure analyses of secondary xylem of *Quercus mongolica* [J]. *J Southwest For Univ*, 2013, **33**(6): 76–79.
- [11] LEAL S, SOUSA V B, PEREIRA H. Within and between-tree variation in the biometry of wood rays and fibres in cork oak (*Quercus suber* L.) [J]. *Wood Sci Technol*, 2006, **40**(7): 585–597.
- [12] VOULGARIDIS E. Wood cell morphology characteristics of some oak species and mediterranean shrubs [J]. *Holz als Roh-und Werkstoff*, 1990, **48**(7/8): 261–267.
- [13] 梅爱君, 徐卫南, 童再康, 等. 不同地区光皮桦木材纤维形态特征的研究[J]. 林业科技, 2017, **42**(3): 20–24.
MEI Ajun, XU Weinan, TONG Zaikang, et al. Study on morphological properties of *Betula luminifera* wood fiber for different regions [J]. *For Sci Technol*, 2017, **42**(3): 20–24.
- [14] 刘晓玲, 符韵林. 人工林观光木主要解剖特性及基本密度研究[J]. 浙江农林大学学报, 2013, **30**(5): 769–776.
LIU Xiaoling, FU Yunlin. Anatomy and basic density of *Tsoungiodendron odorum* [J]. *J Zhejiang A&F Univ*, 2013, **30**(5): 769–776.
- [15] 于朝阳, 裴姗姗, 胡进波, 等. 莎丽格木材解剖学特征及物理力学性能研究[J]. 林产工业, 2018, **45**(11): 17–21.
YU Zhaoyang, CHANG Shanshan, HU Jinbo, et al. Study on the anatomical features and physical-mechanical proper-

- ties of salicaceae wood [J]. *China For Prod Ind*, 2018, **45**(11): 17 – 21.
- [16] 周维, 卢翠香, 杨中宁, 等. 6年生大花序桉不同种源木材纤维特性的差异分析[J]. 西部林业科学, 2016, **45**(2): 29 – 34.
ZHOU Wei, LU Cuixiang, YANG Zhongning, et al. Genetic variation in fiber characteristics of 9 provenances of *Eucalyptus cloeziana* [J]. *J West China For Sci*, 2016, **45**(2): 29 – 34.
- [17] LEHRINGER C, DANIEL G, SCHMITT U. TEM/FE-SEM studies on tension wood fibres of *Acer* spp. *Fagus sylvatica* L. and *Quercus robur* L. [J]. *Wood Sci Technol*, 2009, **43**(7/8): 691 – 702.
- [18] 杨燕, 张青. 西南桦木材微纤丝角的径向变异规律[J]. 木材加工机械, 2010, **21**(4): 16 – 18, 24.
YANG Yan, ZHANG Qing. The radial variation patterns of microfibril angle of alder birch [J]. *Wood Proc Mach*, 2010, **21**(4): 16 – 18, 24.
- [19] HADDADOU I, ALIOUCHE D, BROSSE N, et al. Characterization of cellulose prepared from some *Algerian lignocellulosic* materials (zeen oak wood, Aleppo pine wood and date palm rachis) [J]. *Eur J Wood Prod*, 2015, **73**(3): 419 – 421.
- [20] 廖声熙, 杨振寅, 崔凯, 等. 翠柏木材管胞特性及结晶度的径向变异分析[J]. 南京林业大学学报(自然科学版), 2013, **37**(1): 87 – 90.
LIAO Shengxi, YANG Zhenyin, CUI Kai, et al. Radical variation of wood tracheid character and crystallinity of precious *Calocedrus macrolepis* [J]. *J Nanjing For Univ Nat Sci Ed*, 2013, **37**(1): 87 – 90.
- [21] 郭东强, 叶露, 周维, 等. 2个种源邓恩桉木材纤维特性及变异[J]. 浙江农林大学学报, 2014, **31**(4): 502 – 507.
GUO Dongqiang, YE Lu, ZHOU Wei, et al. Wood fiber features for two provenances of *Eucalyptus dunnii* [J]. *J Zhejiang A&F Univ*, 2014, **31**(4): 502 – 507.